

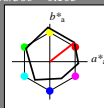
## Eingabe: Farbmetrisches Offset-Reflektiv-System ORS18

für Buntton  $h^* = lab^*h = 38/360 = 0.105$  $lab^*ch$  und  $lab^*nch$ 

D50: Buntton O

LCH\*Ma: 48 82 38

ol\*Ma: 1.0 0.0 0.0

Dreiecks-Helligkeit  $t^*$ 

%Umfang

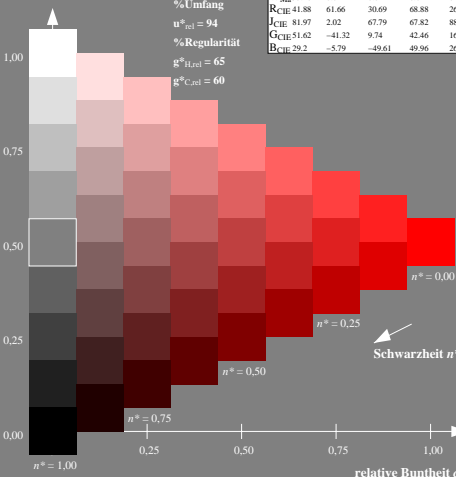
 $u^*_{rel} = 94$ 

%Regularität

 $g^*_{H,rel} = 65$  $g^*_{C,rel} = 60$ 

## ORS18; adaptierte CIELAB-Daten

$L^*=L^*_a$	$a^*_a$	$b^*_a$	$C^*_{ab,a}$	$h^*_{ab,a}$
OMa 47.94	65.05	50.54	82.38	38
YMa 91.0	-4.72	90.58	90.7	93
LMa 50.9	-63.18	34.98	72.22	151
CMa 56.99	-39.34	-48.1	62.16	231
VMa 25.72	30.89	-44.4	54.09	305
MMa 49.99	75.76	-4.64	75.9	356
NMa 18.09	0.0	0.0	0.0	0
WMa 95.46	0.0	0.0	0.0	0
RCIE 41.88	61.66	30.69	68.88	26
JCIE 81.97	2.02	67.79	67.82	88
GCIE 51.62	-41.32	9.74	42.46	167
BCIE 29.2	-5.79	-49.61	49.96	263



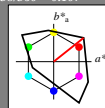
## Ausgabe: Farbmetrisches Fernseh-Licht-System TLS00

für Buntton  $h^* = lab^*h = 38/360 = 0.107$  $lab^*ch$  und  $lab^*nch$ 

D50: Buntton O

LCH\*Ma: 54 101 38

ol\*Ma: 1.0 0.0 0.0

Dreiecks-Helligkeit  $t^*$ 

%Umfang

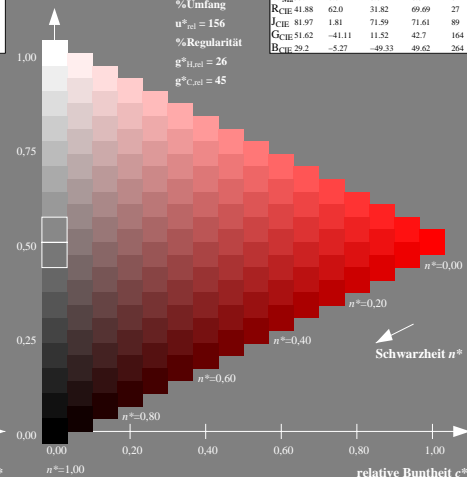
 $u^*_{rel} = 156$ 

%Regularität

 $g^*_{H,rel} = 26$  $g^*_{C,rel} = 45$ 

## TLS00; adaptierte CIELAB-Daten

$L^*=L^*_a$	$a^*_a$	$b^*_a$	$C^*_{ab,a}$	$h^*_{ab,a}$
OMa 54.19	79.36	63.0	101.33	38
YMa 93.44	-14.18	82.59	83.8	100
LMa 82.82	-83.73	70.41	109.41	140
CMa 85.22	-55.9	-15.78	58.1	196
VMa 25.61	67.05	-108.87	127.87	302
MMa 58.76	91.18	-53.69	105.32	330
NMa 0.01	0.0	0.0	0.0	0
WMa 95.41	0.0	0.0	0.0	0
RCIE 41.88	62.0	31.82	69.69	27
JCIE 81.97	1.81	71.59	71.61	89
GCIE 51.62	-41.11	11.52	42.7	164
BCIE 29.2	-5.27	-49.33	49.62	264



PG900-7, 9stufige Reihen für konstanten CIELAB Buntton 38/360 = 0.105 (links)

BAM-Prüfvorlage PG90; Farbmetrik-Systeme ORS18 & TLS00  
D50: 9 und 16stufige Farbreihen für 10 Bunttöne

16stufige Reihen für konstanten CIELAB Buntton 38/360 = 0.107 (rechts)

input: *ol\* setrgbcolor*  
output: *no change compared to input*